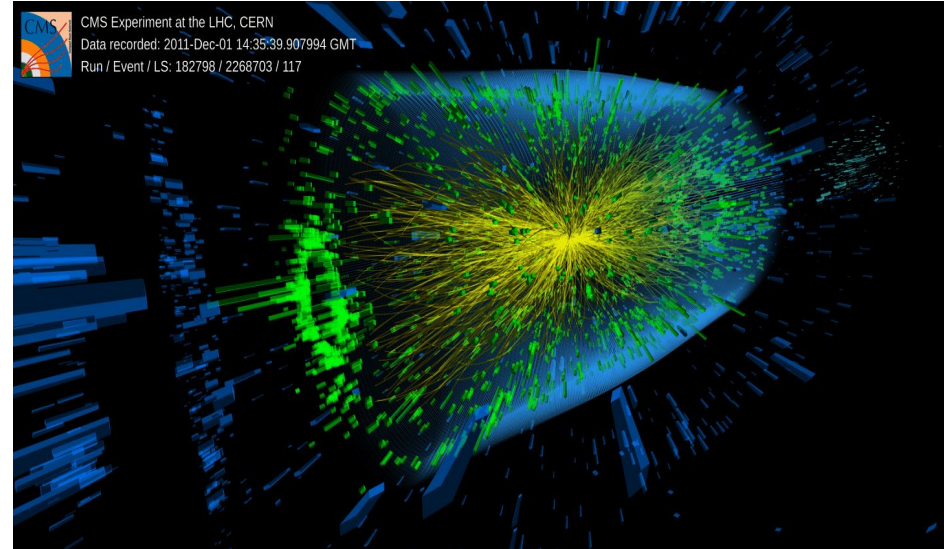


# Identificando quarks de mar y valencia en un plasma holográfico

Daniel Kosoi La Mont  
y Leonardo Patiño Jaidar  
Facultad de Ciencias-UNAM  
Seminario ICN-UNAM,IF-UNAM  
26 de Febrero de 2025  
arXiv:2409.07531

# Motivación

- El diagrama de fase de cromodinámica cuántica es cada vez más complejo.
- La correspondencia holográfica es una alternativa al tratamiento perturbativo para estudiar regiones de fuerte acoplamiento.
- Queremos estudiar el fenómeno de catálisis magnética inversa, para lo cual una de las propuestas es el concepto de quarks de mar y valencia.



Colisión de iones pesados registrada por CMS en el LHC en 2011[1].

[1] A. Rao. CMS collaboration releases its first Open Data from heavy-ion collisions, 2021. URL: <https://home.cern/news/news/knowledge-sharing/cms-collaboration-releases-its-first-open-data-heavy-ion-collisions>

# Correspondencia holográfica

$$Z_{CFT}[\phi] = Z_{string}[\Phi|_{AdS}]$$

Régimen de acoplamiento fuerte/débil

Régimen de acoplamiento débil/fuerte

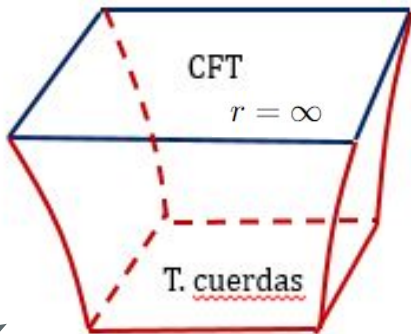
Temperatura de Hawking de un agujero negro

Temperatura en CFT

Encaje de  $D_q$  branas sobre el fondo formado por  $D_p$  branas negras.  
 $q=p+4, p+2, p.$

$q=3, p=7$

$$Z_{sugra} = \left\langle \exp\left(-\int_{\partial AdS} \phi \hat{O}\right) \right\rangle_{CFT}$$



Sabores en CFT

# Fondo y encaje

Métrica 5-d

$$ds^2_5 = -U(r)dt^2 + \frac{dr^2}{U(r)} + V(r)(dx^2 + dy^2) + W(r)dz^2$$

Campo

$$F_{GT} = Bdx \wedge dy$$

$$ds^2_{10} = -U(r)dt^2 + \frac{1}{U(r)}dr^2 + V(r)(dx^2 + dy^2) + W(r)dz^2 + \left[ d\theta^2 + \sin^2 \theta d\tilde{\phi}_1^2 + \cos^2 \theta \left( d\vartheta^2 + \sin^2 \vartheta d\tilde{\phi}_2^2 + \cos^2 \vartheta d\tilde{\phi}_3^2 \right) \right]$$

$$d\tilde{\phi}_i = d\phi_i + \frac{2}{\sqrt{3}} B x dy$$

Las D7-branas se extienden en las direcciones no compactas  $\{t,r,x,y,z\}$ . Se enrollan en un 3-ciclo dentro de la parte compacta del fondo tal que el encaje sea estable.

Hacemos una perturbación alrededor del encaje ecuatorial

$$\delta\chi(t, r, x, y, z)$$

El perfil de encaje queda caracterizado por dos funciones.

$$\delta\phi(t, r, x, y, z)$$

Asociado a las excitaciones escalares [2].

Se puede fijar cero. Asociado a las excitaciones pseudoescalares [2].

# Ecuación y perfil de encaje

Radial

$$\left(3 + \frac{\omega^2}{U} - \frac{k_y^2}{V} - \frac{k_z^2}{W}\right) VW\chi_r + \frac{1}{2}UVW'\chi_r' + W(VU'\chi_r' + UV'\chi_r' + UV\chi_r'') = 2\mathcal{E}W\chi_r$$

$$\left[3UVW'\chi_r' + 6W(VU'\chi_r' + UV'\chi_r' + UV\chi_r'') + 6VW\left(3 - \frac{\partial_t^2\chi_t}{U\chi_t} + \frac{\partial_y^2\chi_y}{V\chi_y} + \frac{\partial_z^2\chi_z}{W\chi_z}\right)\chi_r\right]\chi_x + W\chi_r(6\partial_x^2\chi_x - 8B^2x^2\chi_x) = 0$$

Direcciones de la teoría de norma

$$\frac{1}{2}[-\partial_x^2\chi_x + e^2B^2x^2\chi_x] = \mathcal{E}\chi_x$$

$$e = \frac{2}{\sqrt{3}}$$

$$\omega_c = eB$$

$$\mathcal{E}_n = \left(n + \frac{1}{2}\right)\omega_c$$

Niveles de Landau [3].  
n=0

Frontera

$$\begin{aligned} U(r) &= r^2 + U_1r + \frac{U_1^2}{4} + \frac{1}{r^2}\left(U_{-2} - \frac{2}{3}b^2\log r\right) \\ &+ U_1\frac{1}{r^3}\left(-U_{-2} - \frac{1}{3}b^2 + \frac{2}{3}b^2\log r\right) + \mathcal{O}\left(\frac{1}{r^4}\right) \\ V(r) &= r^2 + U_1r + \frac{U_1^2}{4} + \frac{1}{r^2}\left(V_{-2} + \frac{1}{3}b^2\log r\right) \\ &+ U_1\frac{1}{r^3}\left(-V_{-2} + \frac{1}{6}b^2 - \frac{1}{3}b^2\log r\right) + \mathcal{O}\left(\frac{1}{r^4}\right) \\ W(r) &= r^2 + U_1r + \frac{U_1^2}{4} + \frac{1}{r^2}\left(-2V_{-2} - \frac{2}{3}b^2\log r\right) \\ &+ U_1\frac{1}{r^3}\left(2V_{-2} - \frac{1}{3}b^2 + \frac{2}{3}b^2\log r\right) + \mathcal{O}\left(\frac{1}{r^4}\right) \end{aligned}$$

Horizonte

$$\begin{aligned} U(r) &= 6r_h(r - r_h) + \sum_{i=2}^{\infty} U_i(r - r_h)^i \\ V(r) &= \sum_{i=0}^{\infty} V_i(r - r_h)^i \\ W(r) &= 3r_h^2(r - r_h)^0 + \sum_{i=1}^{\infty} W_i(r - r_h)^i \end{aligned}$$

$$\chi_r^{(\omega,n)}(r) \simeq (r - r_h)^{-i\frac{\omega}{6r_h}} \chi_r^{(0)} \left[1 + C_{(r,\omega,n)}^{(1)}(r - r_h) + C_{(r,\omega,n)}^{(2)}(r - r_h)^2 + \mathcal{O}(r - r_h)^3\right]$$

Condiciones iniciales

$$\begin{aligned} \chi_r^{(\omega,n)}(r) &\simeq \chi_r^{(-1)} \left[ \frac{1}{r} - \frac{U_1}{2r^2} + (\omega^2 - k_z^2 - 2(n + 1/2)eb) \frac{\log r}{2r^3} \right. \\ &- 3U_1(\omega^2 - k_z^2 - 2(n + 1/2)eb) \frac{\log r}{4r^4} + \\ &\left. U_1(\omega^2 - k_z^2 - 2(n + 1/2)eb + U_1^2) \frac{1}{4r^4} \right] \\ &+ \chi_r^{(-3)} \left[ \frac{1}{r^3} - 6U_1 \frac{1}{4r^4} \right] + \mathcal{O}\left(\frac{1}{r^5}\right) \end{aligned}$$

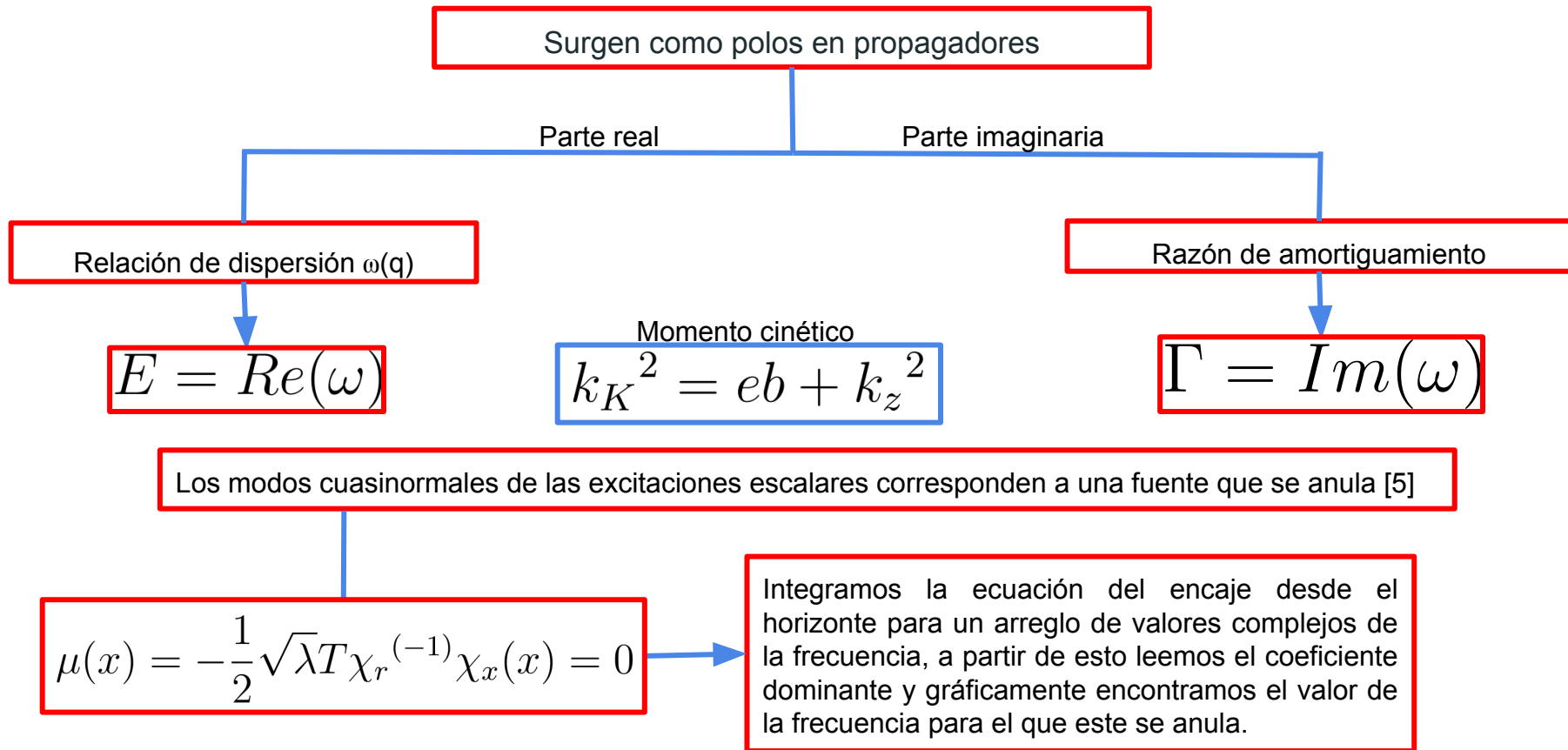
$$\chi_r^{(-1)}$$

Dual a la fuente

$$\chi_r^{(-3)}$$

Dual al condensado

# Modos cuasinormales



# Condensado complejo

El condensado es dual al coeficiente subdominante en la expansión asintótica [5].

Las excitaciones escalares son duales a [2]

$$\text{Re}[\chi_r^{(-3)}]$$

De ser real, se puede relacionar al módulo

Las excitaciones pseudoescalares son duales a [2]

$$\text{Im}[\chi_r^{(-3)}]$$

Corresponde exactamente a la fase.

Aunque en principio estudiamos los modos escalares apagando los pseudoescalares, la naturaleza compleja de las soluciones provoca la aparición de un coeficiente subdominante complejo.

# Quarks de mar y de valencia holográficos

Lattice QCD [3]

Correspondencia  
norma/gravedad

Condensado completo

$$\bar{\psi}\psi(b) = \frac{1}{\mathcal{Z}(b)} \int \mathcal{D}U e^{-S_g} \det(\not{D}(b) + m) \text{Tr}(\not{D}(b) + m)^{-1}$$
$$\mathcal{Z}(b) = \int \mathcal{D}U e^{-S_g} \det(\not{D}(b) + m)$$

- El campo magnético actúa sobre el fondo y las perturbaciones de la brana.
- Funciones métricas U, V, W.
- $b \neq 0$  en la ecuación de encaje.

Condensado de valencia

$$\bar{\psi}\psi^{val}(b) = \frac{1}{\mathcal{Z}(0)} \int \mathcal{D}U e^{-S_g} \det(\not{D}(0) + m) \text{Tr}(\not{D}(b) + m)^{-1}$$

- El campo magnético actúa solo sobre las perturbaciones de la brana.
- Funciones métricas  $U_0, V_0, W_0$ .
- $b \neq 0$  en la ecuación de encaje.

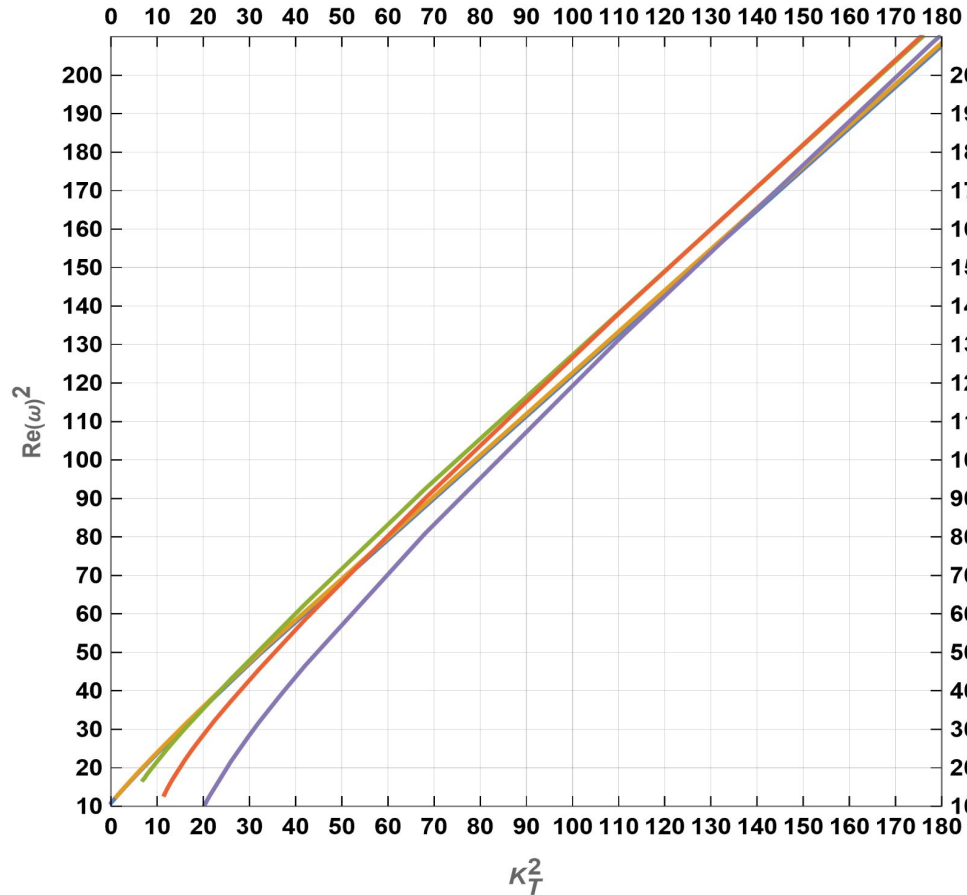
$$[3r^3(r^4 - 1) + r^5\omega^2]\chi_r + (1 - 6r^4 + 5r^8)\chi_r' + r(r^4 - 1)^2\chi_r'' = r(r^4 - 1)(2\mathcal{E} + k_z^2)\chi_r$$

Condensado de mar

$$\bar{\psi}\psi^{sea}(b) = \frac{1}{\mathcal{Z}(b)} \int \mathcal{D}U e^{-S_g} \det(\not{D}(b) + m) \text{Tr}(\not{D}(0) + m)^{-1}$$

- El campo magnético actúa solo sobre el fondo.
- Funciones métricas U, V, W.
- $b = 0$  en la ecuación de encaje.

# Encontrando cuasipartículas



—  $\frac{b}{T^2} = 0$

—  $\frac{b}{T^2} = \frac{4\pi^2}{9}$

—  $\frac{b}{T^2} = \frac{8\pi^2}{3}$

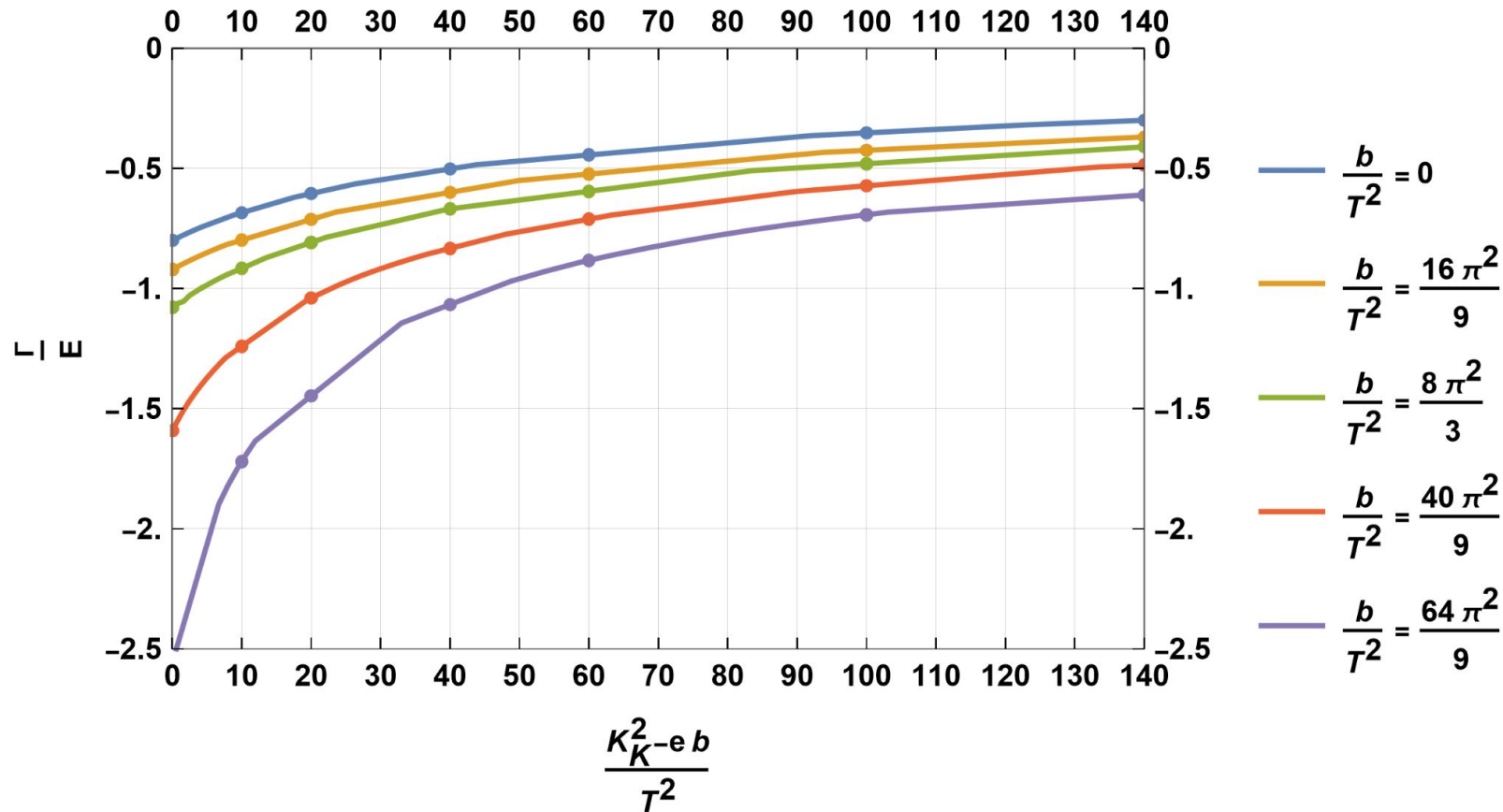
—  $\frac{b}{T^2} = \frac{40\pi^2}{9}$

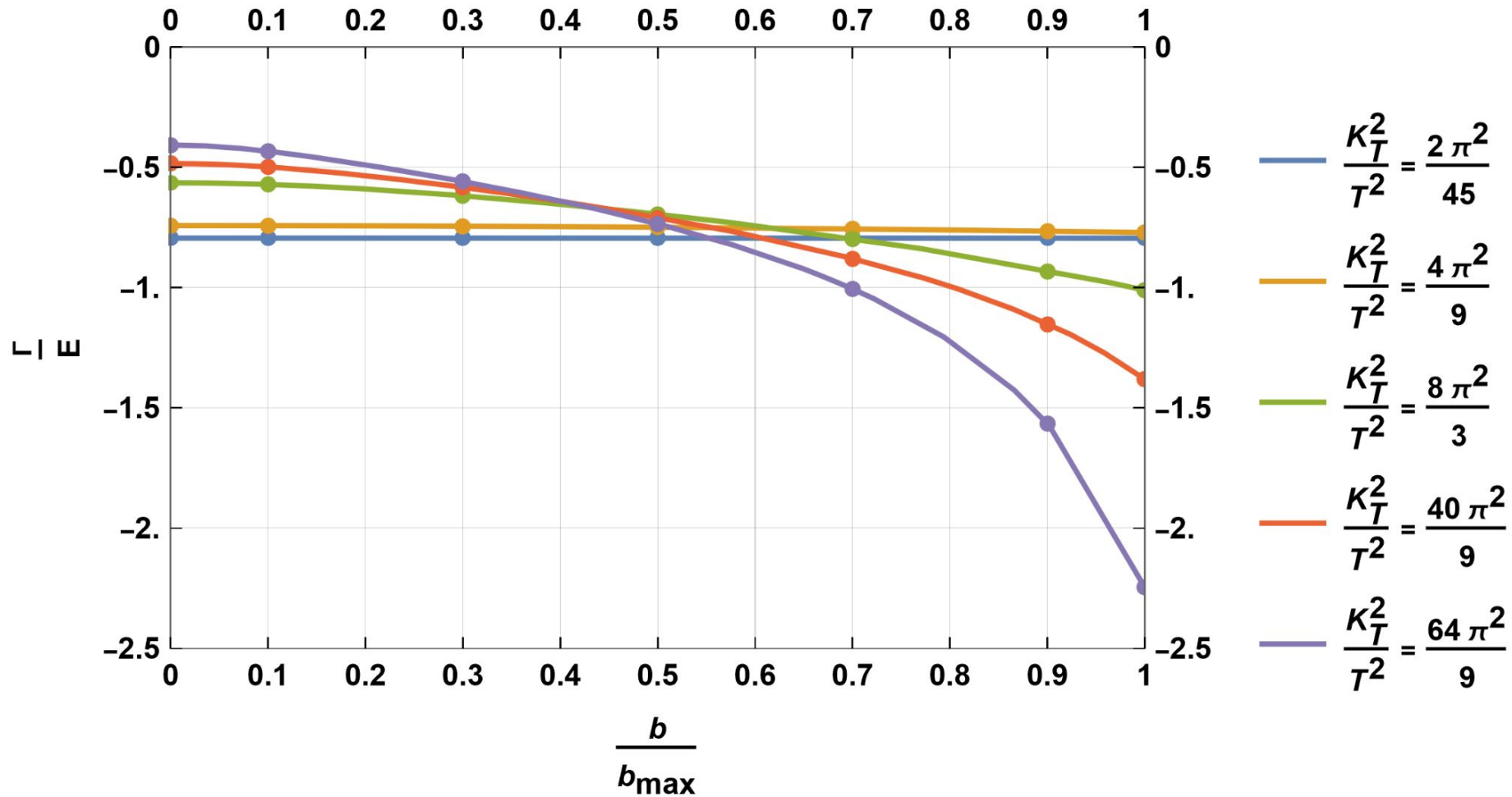
—  $\frac{b}{T^2} = \frac{64\pi^2}{9}$

$$\text{Re}[\omega^2] \simeq \omega_p^2 + \alpha k_K^2 \quad \text{for } k_K \ll eT$$

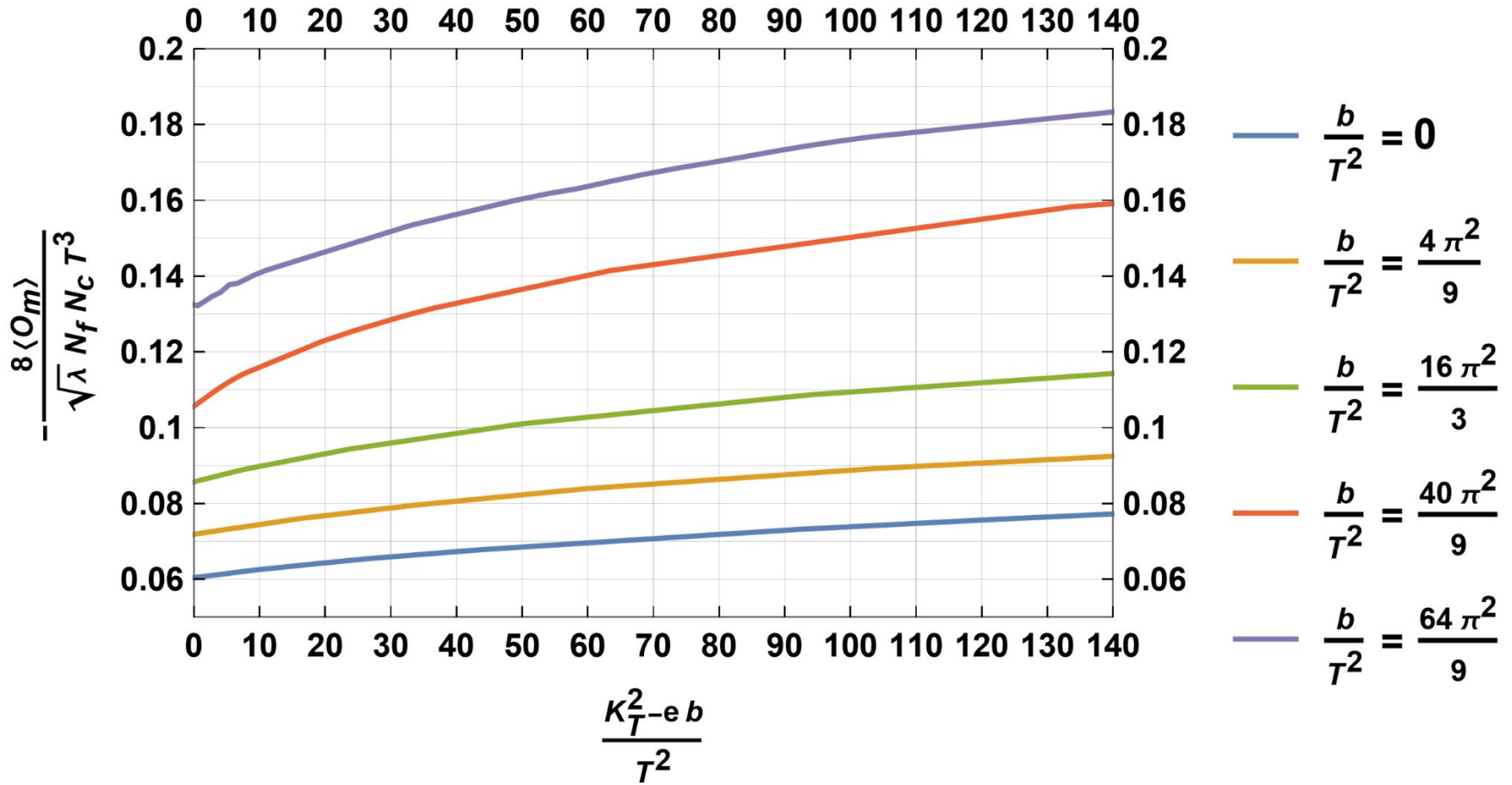
$$\text{Re}[\omega^2] \simeq m_T^2 + k_K^2 \quad \text{for } k_K \gg eT$$

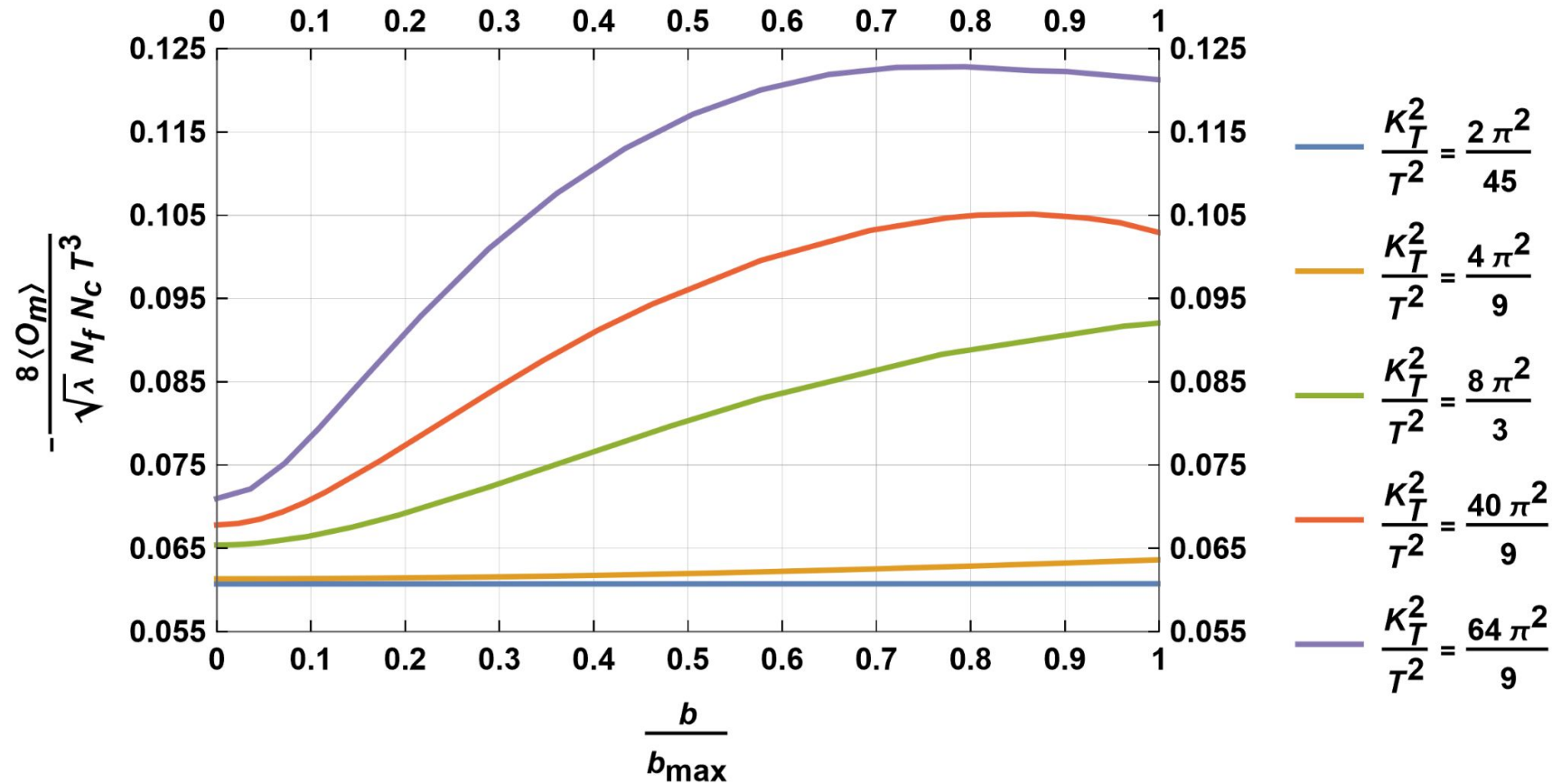
# Efectos del momento cinético y campo magnético sobre los modos cuasinormales



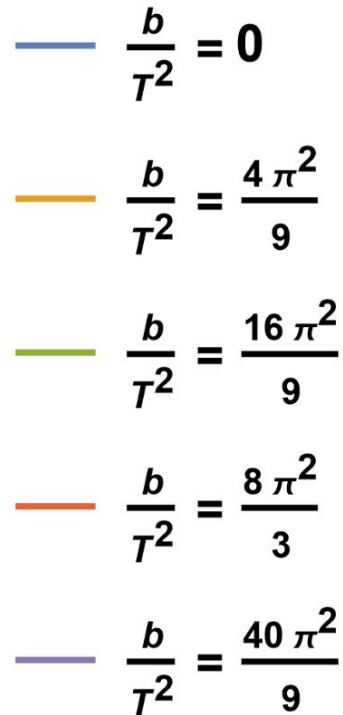
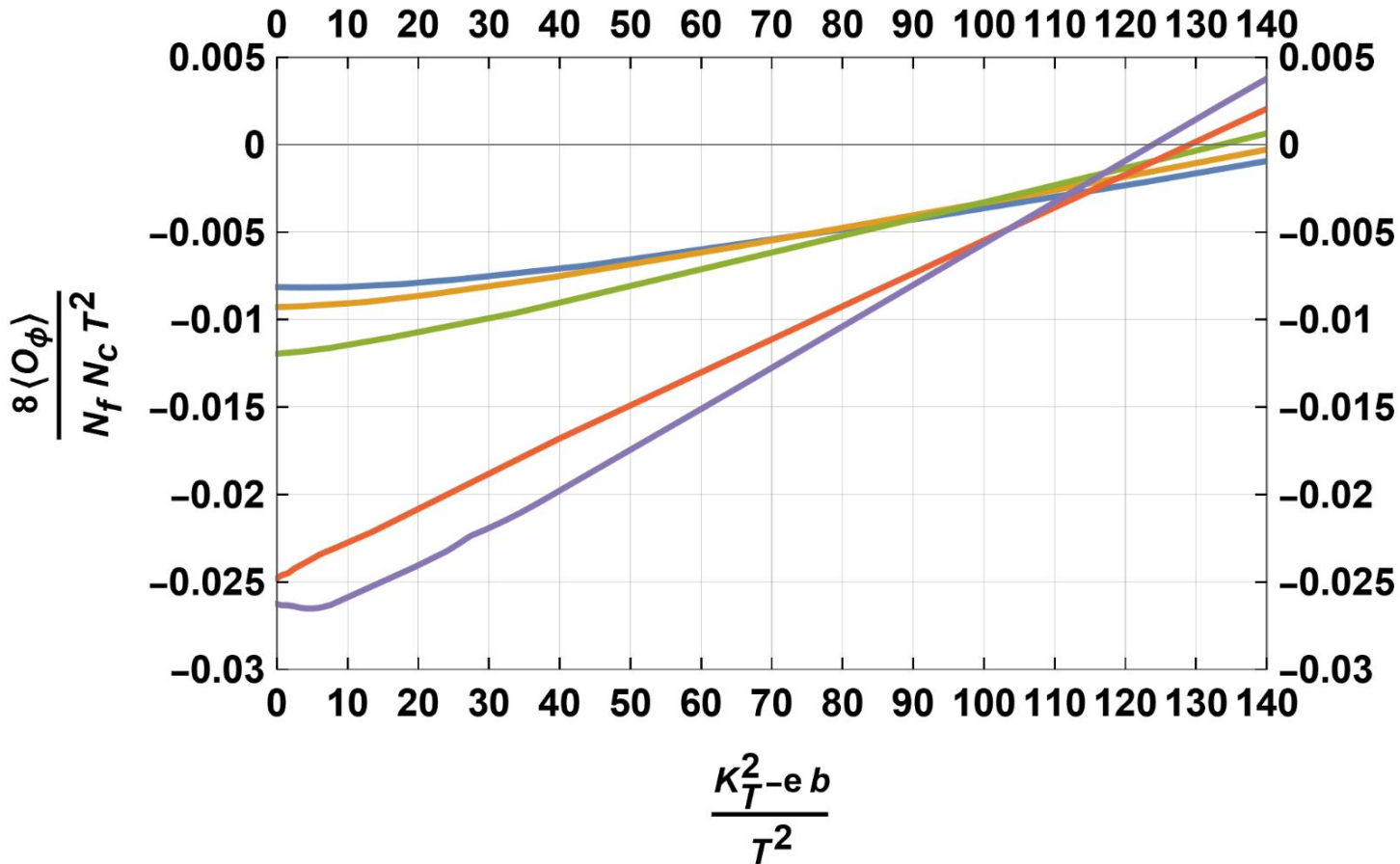


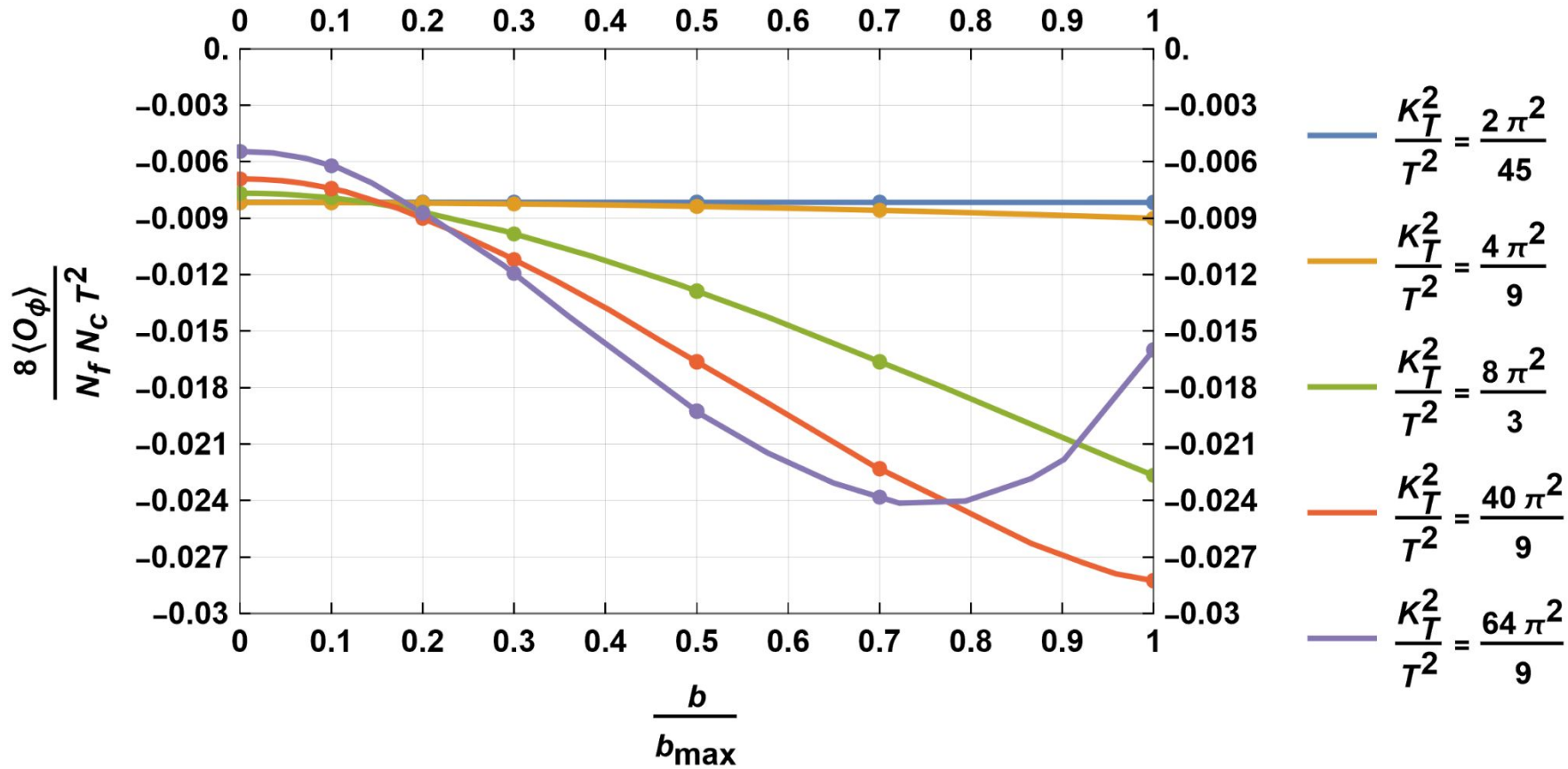
# Condensado escalar



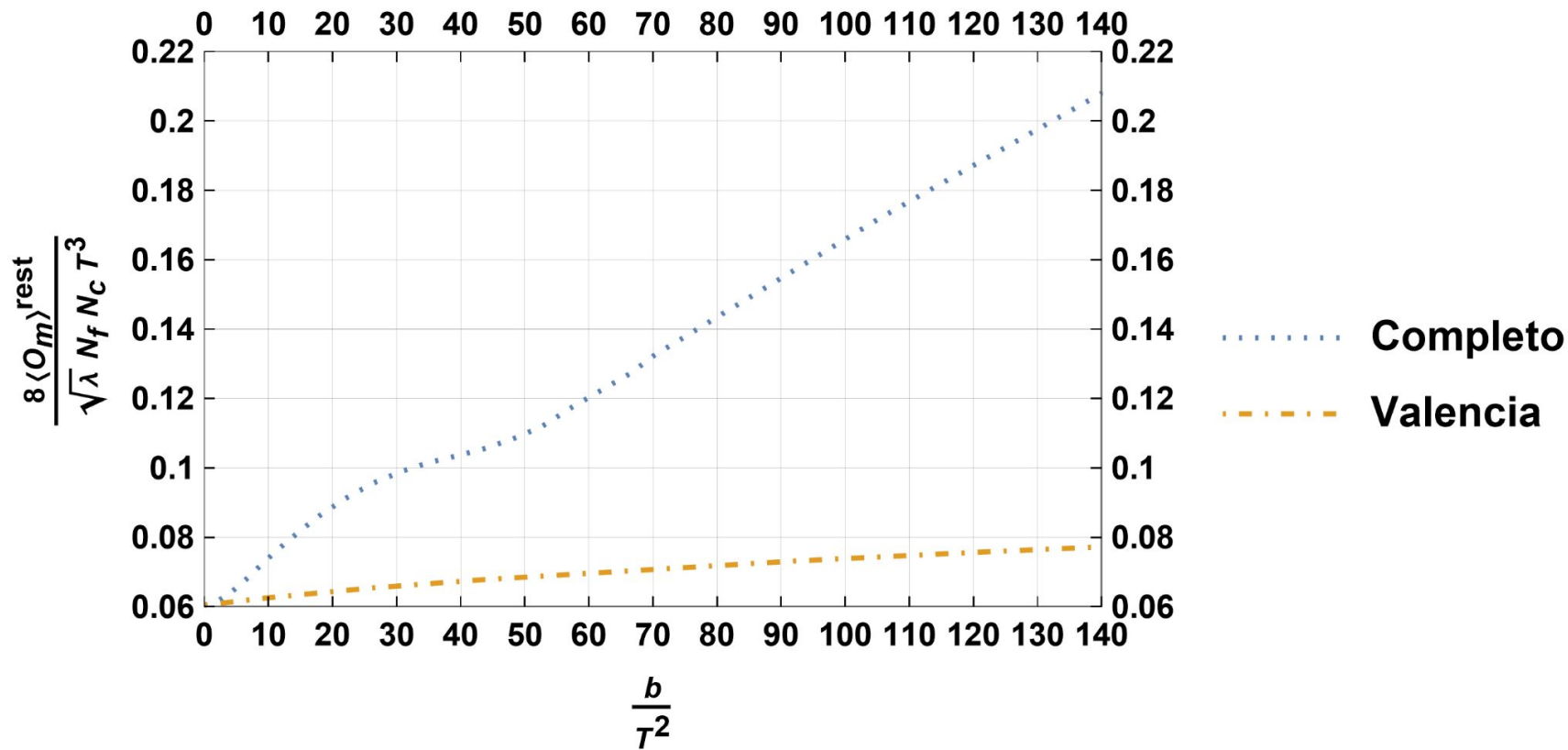


# Condensado pseudoescalar

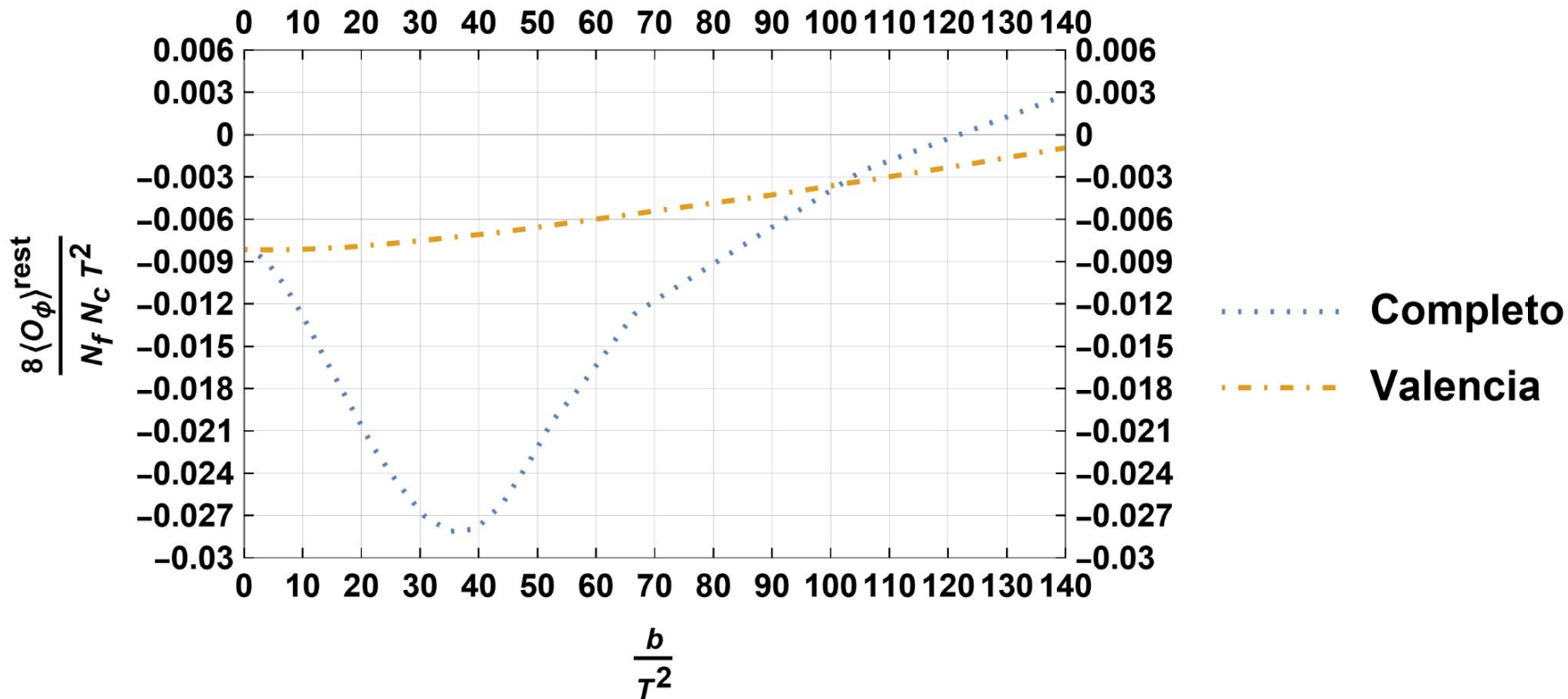




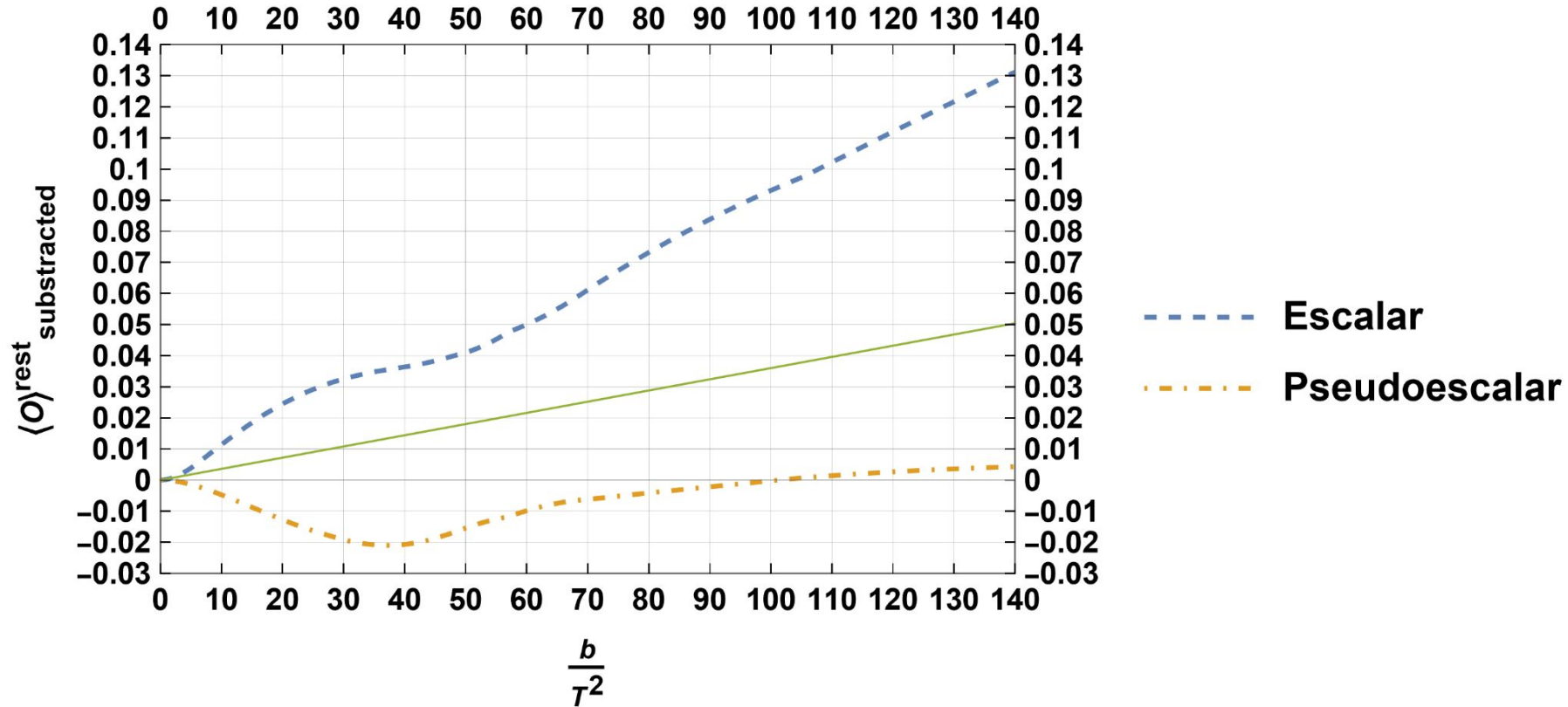
# Condensado escalar en el marco de referencia en reposo



# Condensado pseudoescalar en el marco de referencia en reposo



# Resta del condensado completo y de valencia



Gracias por su atención

